

щее на преграду сверху, 3 — давление, действующее на преграду снизу, 4 — скорость преграды. Наибольшие отклонения результатов отдельных измерений в опытах от средних значений не превышали 30—40%.

Из графиков видно, что в момент подхода фронта ударной волны к преграде давление, действующее на нее сверху, скачком возрастает, а в дальнейшем постепенно убывает. В тот же момент времени начинается ускоренное движение преграды, при водящее к образованию непрерывной волны скатия за ней. Давление, действующее на преграду снизу, вызываемое ее смещением, возрастает постепенно, по мере роста скорости преграды.

При $t = t^*$ давление снизу достигает максимума и становится больше давления сверху. Ускорение преграды при этом уменьшается до нуля. При $t > t^*$ скорость преграды убывает, давление сверху меньше, чем снизу, ускорение отрицательно. На фиг. 6 и 7 обозначено только экспериментальное значение t^* .

Нагрузки, испытываемые преградой, при $t > t^*$ практически равны напряжению в падающей волне. Можно считать, что преграда вовлечена в движение вместе с грунтом. Сопоставление экспериментальных и расчетных значений давления, действующего сверху и снизу на преграду, значений t^* и скорости преграды свидетельствует об удовлетворительной сходимости данных опыта и расчета как по общему характеру, так и по численным значениям.

Таким образом, экспериментально определена кривая динамической сжимаемости грунта. Показано, что эта кривая при давлениях, превышающих $15-20 \cdot 10^5 \text{ н} / \text{м}^2$, соответствует уравнению состояния водонасыщенного грунта как трехкомпонентной идеальной жидкости.

Полученные при расчете нагрузки на преграду оказались в удовлетворительном соответствии с результатами их непосредственного измерения в опытах.

Заметим, что здесь применена система СИ. Для удобства сопоставления с технической системой давление дано в $10^5 \text{ н} / \text{м}^2$, что в первом приближении равно $\text{kГ} / \text{см}^2$.

Авторы благодарят С. Д. Мизякина за участие в опытах.

Поступила 16 VIII 1965

ЛИТЕРАТУРА

- Ляхов Г. М. Ударные волны в многокомпонентных средах. Изв. АН СССР. ОТН, Механика и машиностроение, 1959, № 1.
- Ляхов Г. М. Основы динамики взрыва в грунтах и жидких средах. Изд. «Недра», 1964.
- Григорян С. С. Об основных представлениях динамики грунтов. ПММ, 1960, т. 24, вып. 6.
- Ляхов Г. М., Полякова Н. И. Взаимодействие ударной волны в упругопластической среде со смещающейся преградой. ПМТФ, 1962, № 5.
- Ляхов Г. М., Покровский Г. И. Взрывные волны в грунтах. Госгортехиздат, 1962.
- Григорян С. С., Ляхов Г. М., Мельников В. В., Рыков Г. В. Взрывные волны в лессовидном грунте. ПМТФ, 1963, № 4.
- Нарожная З. В. Об экспериментальном определении скорости разгрузки в грунте при динамических процессах. Научно-технические проблемы горения и взрыва, 1965, № 1.

СТОЛКНОВЕНИЕ СО СТЕНКОЙ ВОЛН ОДНОМЕРНОЙ ГАЗОВОЙ ДЕТОНАЦИИ С БОЛЬШИМ И ПРЕНЕБРЕЖИМО МАЛЫМ ПЕРИОДАМИ ИНДУКЦИИ ВОСПЛАМЕНЕНИЯ

Ю. Н. Денисов (Москва)

Для изучения недавно обнаруженных эффектов взаимодействия поперечных скачков и изломов, входящих в структуру фронта газовой детонации [1—4], так же как и для анализа других явлений волновой газодинамики — зарождающейся отрасли науки о взаимодействии волн в сверхзвуковых потоках [5], представляет интерес рассмотрение задачи о столкновении с абсолютно жесткой стенкой распространяющегося по реакционноспособной смеси плоского ударного фронта.

В отличие от известных исследований такой же задачи Л. Крюссаром, С. В. Измайловым, А. Ф. Беляевым [6—8], К. И. Щелкиным [9] и К. П. Станюковичем [7, 10], предположим, что отраженная волна является не ударной, а детонационной, распространяющейся по ударно скатой и еще не прореагировавшей взрывчатой газовой смеси, рассматриваемой как идеальный газ. Это возможно, например, в том случае, если период индукции воспламенения в падающей волне намного превышает период индукции в отраженной волне детонации. Для газовых детонаций отношение на-

чального давления к давлению за волной не будет [11] пренебрежимо малым ($p_0 / p_1 \approx 1/6 - 1/20$), и поэтому падающая волна принимается произвольной.

В координатах p, x такой процесс столкновения и отражения волн можно представить для наиболее характерных этапов так, как показано на фиг. 1 для последовательных моментов времени t_1, t_2, t_3, t_4, t_5 . На этой схеме индексы 0, 1, 2 указывают соответственно на начальное состояние газа и параметры в падающей и отраженной волнах.

Рассматривая течение в координатах, связанных с фронтом волны, и полагая, что газ у стенки неподвижен, т. е. что $u_0 = u_2 = 0$, запишем уравнения:

для падающей волны

$$\rho_0 D_1 = p_1 (D_1 - u_1), \quad \frac{p_1}{\rho_0} = \frac{2\gamma - (\gamma - 1) P_1}{2\gamma - (\gamma + 1) P_1} \quad (1)$$

$$p_1 - p_0 = \rho_0 D_1 u_1,$$

для отраженной волны

$$\rho_2 D_2 = p_1 (D_2 + u_1), \quad p_2 - p_1 = p_1 (D_2 + u_1) u_1$$

$$\frac{\rho_2}{\rho_1} = \frac{2\gamma + (\gamma + 1) P_2}{2(\gamma + q) + (\gamma - 1) P_2} \quad (2)$$

$$P_1 = 1 - \frac{p_0}{p_1}, \quad P_2 = \frac{p_2}{p_1} - 1,$$

$$q = \frac{Q(\gamma - 1)}{p_1/p_0} = \gamma(\gamma - 1) \frac{Q}{c_1^2}, \quad \gamma = \frac{c_p}{c_v} \quad (3)$$

Здесь P_1 и P_2 — относительные перепады давления соответственно в падающей и отраженной волнах; D_1 и D_2 — скорости распространения соответственно падающей и отраженной волн; q — безразмерное энерговыделение, равное отношению теплоты сгорания единицы массы смеси к ее исходной внутренней энергии; c_p и c_v — удельные теплоемкости; c_1 — скорость звука в ударно скатом газе за падающей волной. Последняя величина определяется по известным c_0 и числу Маха падающей волны M_1 как

$$c_1^2 = c_0^2 \frac{(2\gamma M_1^2 - \gamma + 1)[2 + (\gamma - 1) M_1^2]}{(\gamma + 1)^2 M_1^2} \quad (4)$$

Из уравнений (1) и уравнения количества движения в (2) следует, что

$$P_2 = P_1 \left[\frac{2\gamma - (\gamma - 1) P_1}{2\gamma - (\gamma + 1) P_1} \left(\frac{D_2}{D_1} + 1 \right) - 1 \right] \quad (5)$$

Кроме того, из (1) и (2) имеем соответственно формулы для квадрата относительной скорости газа

$$u_1^2 = (p_1 - p_0) \left(\frac{1}{\rho_0} - \frac{1}{\rho_1} \right), \quad u_1^2 = (p_2 - p_1) \left(\frac{1}{\rho_1} - \frac{1}{\rho_2} \right) \quad (6)$$

Из (6) и уравнений Гюгонио из (1) и (2) следует

$$\frac{P_1 (P_2 - q)}{\gamma + 1/2 P_2 (\gamma + 1)} = \frac{P_1^2}{\gamma - 1/2 P_1 (\gamma + 1)} \quad (7)$$

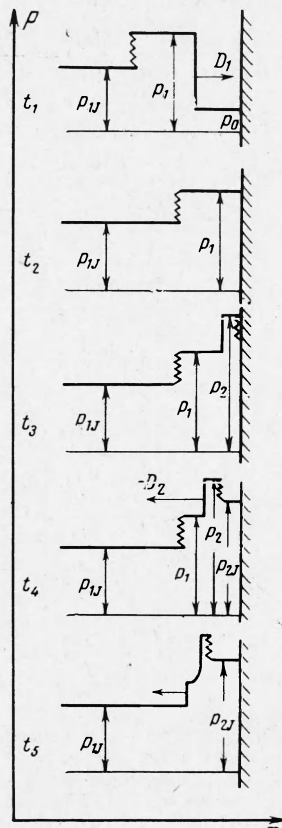
Обозначая правую часть этого равенства через F , получим

$$P_2^2 - \frac{(\gamma + 1) F + 2q}{2} P_2 - \gamma F = 0 \quad (8)$$

Отсюда

$$P_2 = \frac{(\gamma + 1) F + 2q \pm \sqrt{[(\gamma + 1) F + 2q]^2 + 16\gamma F}}{4} \quad (9)$$

В этой формуле перед корнем выбираем знак плюс, так как детонационному режиму должно соответствовать такое изменение давления в волне, при котором $P_2 > 0$. При $Q = 0$ формула (9) сводится к известной формуле Крюссара — Измайлова для дав-



Фиг. 1

ления в ударной волне, отраженной от абсолютно жесткой стенки [6,7]

$$P_2 = \frac{\gamma P_1}{\gamma - 1/2 P_1 (\gamma + 1)} \quad (10)$$

Приравняв правые части уравнений (5) и (9), находим

$$\frac{D_2}{D_1} = \frac{(\gamma - 3) F + 2q + \sqrt{[(\gamma + 1) F + 2q]^2 + 16\gamma F}}{4(F + P_1)} \quad (11)$$

При решении данной задачи одним из основных предположений было то, что в газе, находящемся в состоянии 1, химическая реакция воспламенения полностью отсутствует в течение некоторого времени. Поэтому данное рассмотрение в применении к реальным процессам детонации, очевидно, нужно рассматривать как предельное, так как в действительности газ в состоянии 1 может состоять не только из ударно скатой исходной смеси, но должен включать еще и продукты детонации, обусловленные, например, периодической структурой волны или наличием тонкой структуры взаимодействующих поперечных скачков и изломов [1, 12, 13]. Для продуктов детонации справедлив изэнтропический закон, связывающий давление и плотность [10, 14]

$$p\rho^{-\gamma} = \text{const} \quad (12)$$

В связи с этим представляют интерес рассмотреть и другой случай, также являющийся предельным в применении к реальным процессам, когда предполагается, что вся область скатого газа в детонационной волне сразу за падающим на стенку передним фронтом оказывается полностью заполненной продуктами детонации. Такое рассмотрение для сильной детонационной волны, т. е. в предположении $P_1 \gg p_0$, выполнено К. П. Станюковичем в 1946 г [7, 10]. Решим эту задачу вновь в применении к газовым смесям для произвольной волны, т. е. без учета малости p_0 по сравнению с P_1 . Принимаем в исходных уравнениях (2) $Q = 0$, а уравнение Гюгонио из (1) заменим на получаемое из (12) и условия Жуге выражение для отношения плотностей

$$\rho_1 / \rho_0 = (\gamma + P_1) / \gamma \quad (13)$$

Тогда, решая систему (1) с заменой (13) и (2) с $Q = 0$, получаем следующие формулы для относительного перепада давления P_2 и отношения скоростей D_2 / D_1 :

$$P_2 = P_1 \frac{(\gamma + 1) P_1 + \sqrt{(\gamma + 1)^2 P_1^2 + 16\gamma^2}}{4\gamma} \quad (14)$$

$$\frac{D_2}{D_1} = \frac{(\gamma - 3) P_1 + \sqrt{(\gamma + 1)^2 P_1^2 + 16\gamma^2}}{4(\gamma + P_1)} \quad (15)$$

Вычисление P_1 по известному числу M_1 падающей волны для подстановки в (9), (10) и (11) производится так же, как для ударной волны без энерговыделения

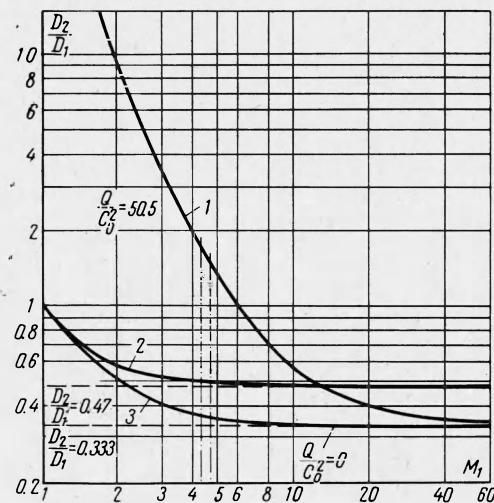
$$P_{1s} = 1 - \frac{p_0}{P_{1s}} = 1 - \frac{\gamma + 1}{2\gamma M_1^2 - (\gamma - 1)} \quad (16)$$

При построении графиков и таблиц зависимостей D_2 / D_1 от целых чисел $M_1 \geq 2$ удобно также определять P_{1s} по формуле

$$(P_{1s})_M = \left(\gamma \sum_{N=2}^{N=M} 2(2N-1) \right) \left[1 + \gamma \left(1 + \sum_{N=2}^{N=M} 2(2N-1) \right) \right]^{-1} \quad (17)$$

Для подстановки в (14) и (15) величина P_1 вычисляется так же, как для детонационной волны в точке Жуге по формуле

$$P_{1J} = 1 - \frac{p_0}{P_{1J}} = 1 - \frac{\gamma + 1}{\gamma M_1^2 + 1} \quad (18)$$



Фиг. 2

ним фронтом оказывается полностью заполненной продуктами детонации. Такое рассмотрение для сильной детонационной волны, т. е. в предположении $P_1 \gg p_0$, выполнено К. П. Станюковичем в 1946 г [7, 10]. Решим эту задачу вновь в применении к газовым смесям для произвольной волны, т. е. без учета малости p_0 по сравнению с P_1 . Принимаем в исходных уравнениях (2) $Q = 0$, а уравнение Гюгонио из (1) заменим на получаемое из (12) и условия Жуге выражение для отношения плотностей

$$\rho_1 / \rho_0 = (\gamma + P_1) / \gamma \quad (13)$$

Тогда, решая систему (1) с заменой (13) и (2) с $Q = 0$, получаем следующие формулы для относительного перепада давления P_2 и отношения скоростей D_2 / D_1 :

$$P_2 = P_1 \frac{(\gamma + 1) P_1 + \sqrt{(\gamma + 1)^2 P_1^2 + 16\gamma^2}}{4\gamma} \quad (14)$$

$$\frac{D_2}{D_1} = \frac{(\gamma - 3) P_1 + \sqrt{(\gamma + 1)^2 P_1^2 + 16\gamma^2}}{4(\gamma + P_1)} \quad (15)$$

Вычисление P_1 по известному числу M_1 падающей волны для подстановки в (9), (10) и (11) производится так же, как для ударной волны без энерговыделения

$$P_{1s} = 1 - \frac{p_0}{P_{1s}} = 1 - \frac{\gamma + 1}{2\gamma M_1^2 - (\gamma - 1)} \quad (16)$$

При построении графиков и таблиц зависимостей D_2 / D_1 от целых чисел $M_1 \geq 2$ удобно также определять P_{1s} по формуле

$$(P_{1s})_M = \left(\gamma \sum_{N=2}^{N=M} 2(2N-1) \right) \left[1 + \gamma \left(1 + \sum_{N=2}^{N=M} 2(2N-1) \right) \right]^{-1} \quad (17)$$

Для подстановки в (14) и (15) величина P_1 вычисляется так же, как для детонационной волны в точке Жуге по формуле

$$P_{1J} = 1 - \frac{p_0}{P_{1J}} = 1 - \frac{\gamma + 1}{\gamma M_1^2 + 1} \quad (18)$$

На фиг. 2 показаны зависимости D_2 / D_1 от M_1 , построенные для водородо-кислородной смеси с $\gamma = 1.4$ для двух рассмотренных предельных случаев (кривые 1 и 2), а также приведена для сравнения кривая, рассчитанная по формуле (11) с учетом того, что $Q / c_0^2 = 0$ (кривая 3). Пунктирные линии на графике являются асимптотами $D_2 / D_1 = 0.333$ и $D_2 / D_1 = 0.47$, которые соответствуют решениям для сильных ударных и детонационных волн. По поводу таких асимптотических решений попутно отметим, что, как следует из графика, в интервале чисел $M_1 = 4-7$, характерном для распространения волн в газах, пренебрежение p_0 по сравнению с p_1 в задачах о столкновениях со стенкой ударных и детонационных волн приводит к погрешностям, доходящим до 12 и 6% соответственно.

Две вертикальные штрих-пунктирные линии на фиг. 2 ограничивают околопредельную область чисел M_1 для падающих детонационных волн. Слева от этой области располагаются значения D_2 / D_1 , получающиеся при отражении от стенки ударных волн, образующихся перед фронтом пламени в преддетонационных режимах, так называемых «неустойчивых» детонаций [15]. Справа от околопредельной области вплоть до точки пересечения кривых 1 и 2 при $M_1 = 13$ располагаются величины D_2 / D_1 для пульсирующей детонации. Еще дальше вправо за этой точкой пересечения, очевидно, не может иметь место явление распространения отраженной детонационной волны, так как для смеси с данной величиной Q / c_0^2 не существует падающих детонационных волн со столь большими числами Маха M_1 . Например, для стехиометрической водородо-кислородной смеси расчетная максимальная скорость падающей детонационной волны равна 5100 м/сек, что соответствует числу Маха $M_1 = 10$. А реально получаемые скорости детонации в такой смеси пока не превышают достигнутой Шмидтом [16] скорости $D_1 = 4440$ м/сек ($M_1 = 8.65$) при начальном давлении $p_0 = 800$ кг/см². Отсюда — все экспериментальные значения D_2 / D_1 должны лежать внутри острого угла, образованного кривыми 1 и 2 слева от точки их пересечения.

Вблизи $M_1 = 1$ кривая 1 стремится в бесконечность, что физически может означать лишь одновременное самовоспламенение слабо возмущенного газа во всех точках рассматриваемого объема. При этом величина относительного перепада давления P_2 , как видно из формулы (9), стремится к постоянной величине, равной безразмерной энергии самовоспламенения $q = \gamma(\gamma - 1)Q / c_0^2$.

В заключение автор благодарит Я. К. Трошина, предложившего исследовать процесс столкновения детонационных волн.

Поступила 3 XII 1965

ЛИТЕРАТУРА

- Денисов Ю. Н., Трошин Я. К. Пульсирующая и спиновая детонация газовых смесей в трубах. Докл. АН СССР, 1959, т. 125, стр. 110.
- Щелкин К. И., Трошин Я. К. Газодинамика горения. Изд-во АН СССР, 1963.
- Войцеховский Б. В., Митрофанов В. В., Топчиян М. Е. Структура фронта детонации в газах. Изд. СО АН СССР, Новосибирск, 1963.
- Солоухин Р. И. Ударные волны и детонация в газах. Физматгиз, 1963.
- Oppenheim A. K., Laderman A. J. Significance of detonation study to propulsion dynamics, 14-th Internat. Astronaut. Congr., Paris, 1963, vol. 1, Paris — Warzawa, 1965, 277—293.
- Беляев А. Ф. К вопросу о столкновении ударных волн. Сборник статей по теории взрывчатых веществ под ред. Ю. Б. Харитона и К. К. Андреева. Оборонгиз, 1940, стр. 159—176.
- Ландад Л. Д., Лифшиц Е. М. Механика сплошных сред. ГИТТЛ, М., 1954.
- Яковлев Ю. С. Гидродинамика взрыва. Судпромгиз, 1961.
- Щелкин К. И. Быстрое горение и спиновая детонация газов, 1949.
- Баум Ф. А., Станюкович К. П., Шехтер Б. И. Физика взрыва. ГИФМЛ, М., 1959.
- Щетинков Е. С. Физика горения газов. Изд-во «Наука», 1965.
- Денисов Ю. Н., Трошин Я. К. Механизм детонационного сгорания, ПМТФ, 1960, № 1, стр. 21.
- Schott G. L. Observation of the Structure of spinning detonation, Phys. Fluids, 1965, vol. 8, p. 850—865.
- Зельдович Я. Б., Компанеец А. С. Теория детонации, 1955.
- Greiter B., Cooper J. C., Gibson F. C., Mason C. M. Combustion and Detonation in Gases, J. of Appl. Phys., 1957, vol. 28, No. 3.
- Schmidt A. Über den Nachweis der Gültigkeit der hydrodynamisch-thermodynamischen Theorie der Detonation für feste und flüssige Sprengstoffe, Z. Phys. Chem., 1941, A 189, p. 88—94.